



# TL 1741 · TL 1741 C · TL 3741 C · TL 4741 C

## Monolithisch Integrierte Schaltungen Monolithic Integrated Circuits

**Anwendungen:** Operationsverstärker in Rechenverstärker, Komparator, Spannungsfolger und allgemein als invertierender und nicht invertierender Regelverstärker.

**Applications:** Operational amplifier, comparator, voltage follower and generally for inverting and non-inverting control amplifiers.

### Besondere Merkmale:

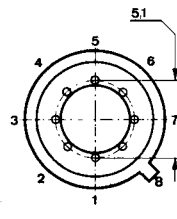
- Ausgang ist kurzschlußfest
- Interne Frequenzkompensation
- Großer Gleichtaktspannungsbereich
- Nullspannungsabgleich

### Features:

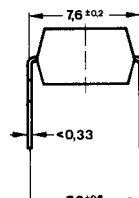
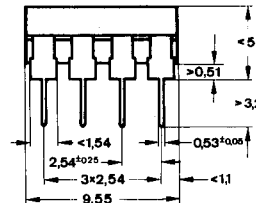
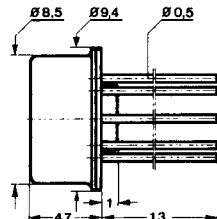
- Short-circuit protected output
- Internal frequency compensation
- Wide common-mode voltage range
- Offset voltage zero capability

### Vorläufige technische Daten · Preliminary specifications

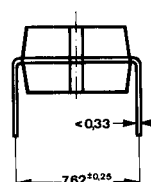
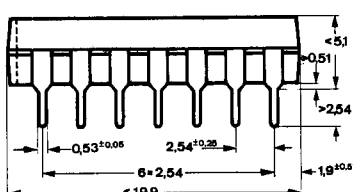
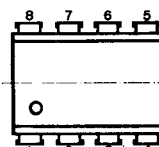
#### Abmessungen in mm Dimensions in mm



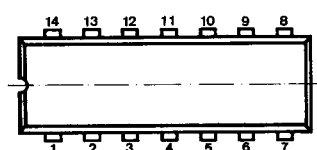
TL 1741  
TL 1741 C  
Normgehäuse  
Case  
5 G 8 DIN 41 873  
JEDEC MO 002 AG  
Gewicht · Weight  
max. 1,5 g



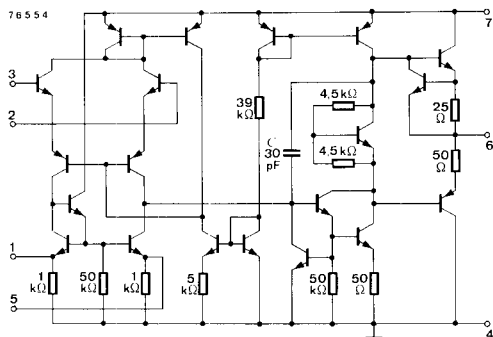
TL 4741 C  
Kunststoffgehäuse  
Plastic case  
DIP 8-polig  
Gewicht · Weight  
max. 0,8 g



TL 3741 C  
Normgehäuse  
Case  
JEDEC MO 001 AA  
Gewicht · Weight  
max. 1,1 g



# TL 1741 · TL 1741 C · TL 3741 C · TL 4741 C



TL 1741  
TL 1741 C · TL 3741 C  
TL 4741 C

|  |   |    |
|--|---|----|
| Eingangskompensation<br>(Fehlspannung)<br><i>Input compensation<br/>(Offset voltage)</i> | 1 | 3  |
| Invertierender Eingang<br><i>Inverting input</i>   | 2 | 4  |
| Nicht invertierender Eingang<br><i>Non inverting input</i>                               | 3 | 5  |
| $-U_S$   | 4 | 6  |
| Eingangskompensation<br>(Fehlspannung)<br><i>Input compensation<br/>(Offset voltage)</i> | 5 | 9  |
| Ausgang<br><i>Output</i>   | 6 | 10 |
| $U_S$  | 7 | 11 |
| Nicht verbunden<br><i>Not connected</i>  | 8 | 12 |

Fig. 1 Schaltung und Anschlußbelegung  
*Diagram and pin connections*

## Beschreibung:

Die kurzschlußfesten Differenzverstärker TL 1741 bis 4741 C sind monolithische integrierte Schaltungen, die sich vornehmlich im Gehäuse voneinander unterscheiden. Sie haben die gleiche Pin-Anordnung wie die Operationsverstärker der Reihe TL 1709 C, benötigen jedoch keine externe Frequenzkompen-sation.

## Description:

The short-circuit protected differential amplifiers TL 1741 to 4741 C are monolithic integrated circuits which have only different packages. They have the same pin configuration as the operational amplifiers of the TL 1709 C series, but they require no external frequency compensation.

Bezugspunkt = Gemeinsamer Anschluß der Versorgungsspannungsquellen

*Reference point = Common power supply*

$t_{amb} = 25^\circ\text{C}$

Anschlußbelegungen siehe: Fig. 1  
*Pin connections see:*

Nachfolgende Anschlußangaben nur für:  
*Following terminal specification only for:*

**TL 1741, TL 1741 C, TL 4741 C**

# TL 1741 · TL 1741 C · TL 3741 C · TL 4741 C

---

## Absolute Grenzdaten

### Absolute maximum ratings

Versorgungsspannungen

Supply voltages

|  |       |        |    |   |
|--|-------|--------|----|---|
| <b>TL 1741</b>                         | Pin 7 | $U_S$  | 22 | V |
| <b>TL 1741 C, TL 3741 C, TL 4741 C</b> | Pin 7 | $U_S$  | 18 | V |
| <b>TL 1741</b>                         | Pin 4 | $-U_S$ | 22 | V |
| <b>TL 1741 C, TL 3741 C, TL 4741 C</b> | Pin 4 | $-U_S$ | 18 | V |

Differenz-Eingangsspannung

Differential input voltage

Pin 2, 3     $\pm U_{ID}$

30              V

Eingangsspannung

Input voltage

|                            |          |           |           |   |
|----------------------------|----------|-----------|-----------|---|
| $\pm U_S \leq 15\text{ V}$ | Pin 2, 3 | $\pm U_I$ | 15        | V |
| $\pm U_S > 15\text{ V}$    |          | $\pm U_I$ | $\pm U_S$ | V |

Ausgangs-Kurzschlußdauer

Output short-circuit duration

|  |  |          |                            |  |
|--|--|----------|----------------------------|--|
| Ausgang-Bezugspunkt<br>Output to reference point |  | $t_{QS}$ | unbeschränkt<br>indefinite |  |
|--|--|----------|----------------------------|--|

Verlustleistung

Power dissipation

$P_{tot}$

500              mW

Sperrsichttemperatur

Junction temperature

$t_j$

150              °C

Umgebungstemperaturbereich

Ambient temperature range

**TL 1741**     $t_{amb}$

−55...+125      °C

**TL 1741 C**     $t_{amb}$

0...+ 70      °C

Lagerungstemperaturbereich

Storage temperature range

$t_{stg}$

−65...+150      °C



## Statische Kenngrößen

### DC characteristics

$\pm U_S = 15\text{ V}$ ,  $t_{amb} = 25\text{ °C}$

Min.    Typ.    Max.

Gesamtverlustleistung

Total power dissipation

|           |  |           |    |    |    |
|-----------|--|-----------|----|----|----|
| $U_Q = 0$ |  | $P_{tot}$ | 50 | 85 | mW |
|-----------|--|-----------|----|----|----|

Ausgangsspannungsbereich

Output voltage range

|                           |       |           |    |    |   |
|---------------------------|-------|-----------|----|----|---|
| $R_L = 2\text{ k}\Omega$  | Pin 6 | $\pm U_Q$ | 10 | 13 | V |
| $R_L = 10\text{ k}\Omega$ | Pin 6 | $\pm U_Q$ | 12 | 14 | V |

|                                  |  |  |  |  |  |
|----------------------------------|--|--|--|--|--|
| $t_{amb} = 0\ldots 70\text{ °C}$ |  |  |  |  |  |
|----------------------------------|--|--|--|--|--|

|                          |                  |       |           |    |   |
|--------------------------|------------------|-------|-----------|----|---|
| $R_L = 2\text{ k}\Omega$ | <b>TL 1741 C</b> | Pin 6 | $\pm U_Q$ | 10 | V |
|--------------------------|------------------|-------|-----------|----|---|

Empfindlichkeit gegen

Versorgungsspannungsänderungen

Supply voltage rejection

ratio

|  |       |           |    |     |                 |
|--|-------|-----------|----|-----|-----------------|
| $R_{KO} \leq 10\text{ k}\Omega$ , Fig. 2 | Pin 6 | $k_{SVS}$ | 30 | 150 | $\mu\text{V/V}$ |
|--|-------|-----------|----|-----|-----------------|

# TL 1741 · TL 1741 C · TL 3741 C · TL 4741 C

|   |         |                 | Min.                   | Typ. | Max.                           |             |
|---|---------|-----------------|------------------------|------|--------------------------------|-------------|
| Eingangsruhestrom<br><i>Input quiescent current</i>             |         |                 |                        |      |                                |             |
| $t_{\text{amb}} = -55^{\circ}\text{C}$                          | Pin 2,3 | $I_{\text{IB}}$ | 0,2                    | 0,5  | $\mu\text{A}$                  |             |
| $t_{\text{amb}} = 0 \dots 70^{\circ}\text{C}$                   | Pin 2,3 | $I_{\text{IB}}$ | 0,5                    | 0,8  | $\mu\text{A}$                  |             |
| Eingangsfehlstrom<br><i>Input offset current</i>                |         |                 |                        |      |                                |             |
| $t_{\text{amb}} = -55 \dots +125^{\circ}\text{C}$               | Pin 2,3 | $I_{\text{IO}}$ | 0,03                   | 0,2  | $\mu\text{A}$                  |             |
| $t_{\text{amb}} = 0 \dots + 70^{\circ}\text{C}$                 | Pin 2,3 | $I_{\text{IO}}$ | 0,5                    | 0,8  | $\mu\text{A}$                  |             |
| Eingangsfehlspannung<br><i>Input offset voltage</i>             |         |                 |                        |      |                                |             |
| $R_{\text{KO}} \leq 10 \text{ k}\Omega$                         | TL 1741 | Pin 2           | $U_{\text{IO}}$        | 1,0  | 5,0                            | $\text{mV}$ |
| $t_{\text{amb}} = -55 \dots +125^{\circ}\text{C}$               |         | Pin 2           | $U_{\text{IO}}$        | 2,0  | 6,0                            | $\text{mV}$ |
| $t_{\text{amb}} = 0 \dots + 70^{\circ}\text{C}$                 |         | Pin 2           | $U_{\text{IO}}$        |      | 6,0                            | $\text{mV}$ |
| $R_{\text{KO}} = 50 \Omega$                                     |         | Pin 2           | $\alpha U_{\text{IO}}$ | 3,0  | $\mu\text{V}/^{\circ}\text{C}$ |             |
| $R_{\text{KO}} = 10 \text{ k}\Omega$                            |         | Pin 2           | $\alpha U_{\text{IO}}$ | 6,0  | $\mu\text{V}/^{\circ}\text{C}$ |             |
| Gleichtakt-Eingangsspannung<br><i>Common mode input voltage</i> |         |                 |                        |      |                                |             |
| $R_{\text{KO}} \leq 10 \text{ k}\Omega$                         |         |                 | $\pm U_{\text{IC}}$    | 12   | 13                             |             |
| Gleichtaktunterdrückung<br><i>Common mode rejection</i>         |         |                 |                        |      |                                |             |
| $R_{\text{KO}} \leq 10 \text{ k}\Omega$                         |         |                 | $k_{\text{cr}}$        | 70   | 90                             | $\text{dB}$ |

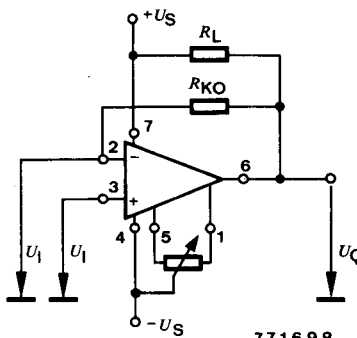


Fig. 2 Fehlspannungseinstellung  
*Offset voltage control*

**Dynamische Kenngrößen**  
**AC characteristics**

$\pm U_S = 15 \text{ V}$ ,  $t_{\text{amb}} = 25^\circ\text{C}$

Leerlaufspannungsverstärkung  
ohne äußere Rückkopplung  
*Open loop voltage amplification  
without external feedback*

Fig. 4, 5, 6

$\pm U_Q = 10 \text{ V}$ ,  $R_L = 2 \text{ k}\Omega$  **TL 1741**

|           | Min. | Typ. | Max.   |
|-----------|------|------|--------|
| $A_{UOG}$ | 50   | 200  | $10^3$ |
| $A_{UOG}$ | 20   | 100  | $10^3$ |

$t_{\text{amb}} = -55 \dots +125^\circ\text{C}$

|           |    |        |
|-----------|----|--------|
| $A_{UOG}$ | 25 | $10^3$ |
|-----------|----|--------|

$t_{\text{amb}} = 0 \dots +70^\circ\text{C}$

|           |    |        |
|-----------|----|--------|
| $A_{UOG}$ | 15 | $10^3$ |
|-----------|----|--------|

Differenzeingangsimpedanz

*Differential mode input impedance*

$f = 20 \text{ Hz}$

|          |     |     |           |
|----------|-----|-----|-----------|
| $z_{id}$ | 0,3 | 1,0 | $M\Omega$ |
|----------|-----|-----|-----------|

Ausgangsimpedanz

*Output impedance*

$f = 20 \text{ Hz}$

|       |    |          |
|-------|----|----------|
| $z_q$ | 75 | $\Omega$ |
|-------|----|----------|

**Schaltverhalten**

**Switching characteristics**

$A_U = 1$ ,  $\Delta U_Q = 20 \text{ mV}$ ,  $k_{OV} = 5\%$ , Fig. 3

Abfallzeit

|       |     |               |
|-------|-----|---------------|
| $t_f$ | 0,6 | $\mu\text{s}$ |
|-------|-----|---------------|

*Fall time*

Verzögerungszeit

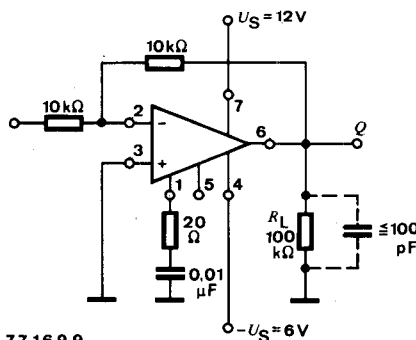
|       |      |               |
|-------|------|---------------|
| $t_d$ | 0,38 | $\mu\text{s}$ |
|-------|------|---------------|

*Delay time*

Mittlere Flankensteilheit

|            |     |                        |
|------------|-----|------------------------|
| $S_{VOav}$ | 0,8 | $\text{V}/\mu\text{s}$ |
|------------|-----|------------------------|

*Average rate of change of the output voltage*



771699

**Fig. 3** Meßschaltung für:  $t_f$ ,  $t_d$ ,  $S_{VOav}$   
*Test circuit for:*

# TL 1741 · TL 1741C · TL 3741C · TL 4741 C

